

# GRAVİTE VERİLERİNE GÜÇ SPEKTRUMU YÖNTEMİNİN KAYAN PENCERELİ UYGULAMASI

## Moving Window Application of the Power Spectrum Method to the Gravity Data

Zafer AKÇİĞ\* ve Rahmi PINAR\*

### ÖZET

Bu çalışmada, gravite model verilerinde güç spektrumu periodogram yöntemi ile elde edilmesi ve kayan pencere uygulaması ile yeraltı yapılarının topografyasının belirlenmesi işlemleri gerçekleştirılmıştır. Ayrıca yöntem, Batı Karadeniz Bölgesi gravite haritasından alınan üç adet profile uygulanmıştır. Elde edilen derinlikler, aynı gravite profillerine Hilbert dönüşüm yönteminin uygulanmasından bulunan derinliklerle karşılaştırılmıştır. Her iki yöntemden elde edilen sonuçlar birbiri ile oldukça yakınlık göstermiştir. Sözkonusu alanda, anomalide neden olan, uzun dalgaboylu değişimlere ait kütlenin derinlikleri ortalama 12.6 - 15.3 km civarında bulunmuştur.

### ABSTRACT

In this study, power spectrum of model gravity data was obtained from periodograms and the topography of buried bodies were determined using moving window method. Additionally, this method was applied to the three profiles taken from the gravity maps of the Western Black Sea. The estimated depth values were compared with the depths obtained by applying the Hilbert transforms to the same gravity profiles. The both method have given comparable results. The long wavelength body which causes the anomaly in the area is estimated to be at 12.6 - 15.3 km depth.

### GİRİŞ

Potansiyel alan verilerinde modelleme ve ters çözüm yöntemleri yardımıyla belirtiye neden olan yapıların çeşitli parametreleri (derinlik, kalınlık, kütle, vb.) saptanabilir. Örneğin modelleme yöntemiyle gravitede, jeolojik yapıların özellikleri göz önünde bulundurularak, yoğunluklar atanabilir ve yineleme yardımıyla derinlikler saptanarak gerçek modele ulaşılma-ya çalışılır. Ancak, potansiyel alan verilerinin çok çözümlü olma özellikleri gözönüne alındığında, belirtiye neden olan parametrelerin saptanması bazı güçlükleri de beraberinde getirir. Bu güçlüklerin aşılması; istatistiksel bir yaklaşım olan güç spektrumundan yararlanılarak, yapıya ilişkin parametrelerin (derinlik, kalınlık ve genişlik) saptanması oldukça büyük katkılar sağlar. Bu tür ve benzeri katkılar ise dalgasayısı ortamı uygulamalarının, jeofizikte giderek artan oranda kullanılmasına neden olmuştur.

Dean (1958) ile başlayan dalgasayıları ortamı uygulamaları, Bhattacharyya (1965 ve 1966), Spector ve Bhattacharyya (1966), Spector ve Grant (1970), Green (1972), Hahn ve dig. (1976), Cianciara ve Marcak (1976) vd. çalışmalarıyla günümüzde de genilmiştir.

Bu çalışmada ise kayan penceredi güç spektrumu uygulaması yardımıyla yeraltı yapılarının topografyası araştırılmıştır. Bu amaç doğrultusunda yöntem, önce oluşturulan bir kuramsal model üzerinde sınanmış, daha sonra da Batı Karadeniz Bölgesi gravite verilerine uygulanarak elde edilen sonuçlar tartışılmıştır.

### YÖNTEM

Bu bölümde, güç spektrumu kestiriminin, elde edilmesi ile ilgili temel tanım ve özelliklere kısaca değinilecektir.

#### Fourier Dönüşümü

Herhangi bir işlev, frekans ortamında gerçel ve sanal bileşenlerinin, toplamı olarak yazılabilir.

$$F(w) = P(w) + iQ(w) \quad (1)$$

(1) bağıntısından yararlanılarak genlik spektrumu

$$A(w) = |F(w)| = (P^2 + Q^2)^{1/2} \quad (2)$$

şeklinde verilir. Güç spektrumu  $S(w)$  ve evre spektrumu  $\phi(w)$  ise izleyen bağıntılar yardımıyla tanımlanır.

$$S(w) = |F(w)|^2 = P^2 + Q^2 \quad (3)$$

$$\phi(w) = \operatorname{arctg}(Q/P) \quad (4)$$

Ancak uygulamada genellikle sınırlı uzunlukta ve ayrık verilerle ilgilenildiğinden, Fourier dönüşüm çiftinin sınırlı boylu olarak yeniden tanımlanması gereklidir. Bu tanımlama işlemeye girmeden önce de sınırlı uzunlukta veri kavramına kısaca değinmek yararlı olacaktır.

Gözlemsel veriler her zaman belirli bir aralıktır (zaman veya uzaklık) gözlenirler. Bu aralık dışında ise verinin sıfır veya aynı dönem ile yinelendiği varsayılmıştır. Verinin, bu aralık dışında sıfır sayılması ise, sonsuz uzunluktaki  $f(x)$  verisinin

$$w(x) = \begin{cases} 1, & |x| \leq T/2 \\ 0, & |x| > T/2 \end{cases} \quad (5)$$

penceresi ile çarpılması anlamındadır.

$$f_T(x) = f(x) \cdot w(x) \quad (6)$$

Evrişim kuramı yardımıyla  $f_T(x)$  in Fourier dönüşümü ise,

$$F_T(w) = F(w) * W(w) \quad (7)$$

dir. Bu tanımlardan yararlanılarak da sınırlı uzunlukta veriler için Fourier dönüşüm bağıntısı,

$$F_T(w) = \frac{1}{T} \int_{-T/2}^{T/2} f_T(x) \exp(-iwx) dx \quad (8)$$

şeklini alır.

(8) bağıntısında  $w = 2\pi f$  olduğundan

$$F_T(w) = \frac{1}{T} \int_{-T/2}^{T/2} f_T(x) \exp(-i2\pi fx) dx \quad (9)$$

elde edilir. Uygulamada (9) bağıntısı ile tanımlanan  $F_T(f)$  ye Fourier spektrumu adı verilir. Ayrık veri durumunda ise (9) bağıntısı ile tanımlanan Fourier spektrumu

$$\hat{F}_T(f) = \frac{1}{N} \sum_{n=0}^{N-1} f_n \exp(-i2\pi fn\Delta t) \quad (10)$$

şeklini alır (Canitez ve diğ. 1987). Frekans ömeklemesi  $\Delta f$  olmak üzere sonuçta sınırlı uzunlukta ayrık veriler için Fourier spektrumu

$$\hat{F}_k = \frac{1}{N} \sum_{n=0}^{N-1} f_n \exp(-i2\pi kfn\Delta t) \quad (11)$$

bağıntısı ile tanımlanır.

### Güç Spektrumu

Günümüzde degen güç spektrumunun, potansiyel alan verilerine uygulanmasına ait çok sayıda araştırma bulunmaktadır. Bu araştırmaların sonucunda, değişik geometrik yapıya sahip yeraltı yapılarının dalgasayısı ortamı davranışları ve bunları denetleyen parametreler ortaya konmuştur. Bu parametreler (derinlik, kalınlık, genişlik, vd.) içinde en büyük etkinin

derinlikten kaynaklandığı ve bunun da spektrumun eğimini denetlediği saptanmıştır (Bhattacharyya 1965 ve 1966, Spector ve Bhattacharyya 1966). Spector ve Grant (1970) bu bulgularдан yararlanarak anomalie neden olan kütlelerin ortalama derinliklerinin bulunabileceğini göstermişlerdir.

Uygulamada güç spektrumu, periodogram yönteminden veya özilişki fonksiyonun Fourier dönüşümünden elde edilir. Bu yöntemlere ilişkin ayrıntılı bilgiler, Blackman ve Tukey (1958), Jones (1965), Green (1972), Jenkins ve Watts (1968) de bulunmaktadır.

Gravite yönteminde güç spektrumu ile anomalie neden olan yapının parametreleri arasındaki ilişki,

$$S(w) = f(w, \alpha_1, \alpha_2, \dots, \alpha_n) \exp(-2wh) \quad (12)$$

bağıntısı ile tanımlanır. Burada  $S(w)$ , güç spektrumu;  $\alpha_1, \alpha_2, \dots, \alpha_n$ , yapı parametreleri;  $h$ , derinlik ve  $f(\dots)$  anomalie neden olan yapıyı simgeleyen fonksiyondur.

Gelişigüzel süreçlerde (stochastic process) bu bağıntı en genel halde

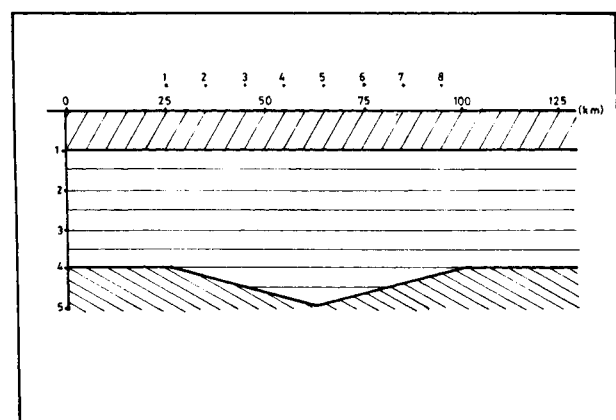
$$S(w) = \sum_{p=1}^P f^p(w, \alpha_1^p, \alpha_2^p, \dots, \alpha_n^p) \exp(-2wh) \quad (13)$$

olarak verilir.

İstatistiksel bir yaklaşım olan spektrum kestiriminin (estimation) sağlıklı olabilmesi ise ancak değişimi (variance) ve ortalama karesel hatanın (mean square error) küçük olması ile olmaktadır. Bu koşulu sağlayan istatistik yaklaşım ise, bir uzay (veya zaman) verisinin spektrumunun elde edilmesinde, verinin tümünün birarada kullanılması yerine, verinin bir pencere fonksiyonu yardımıyla eşit sayıda bölmeye ayrılarak kullanılması şeklidir. Bu ayırma işlemi yapıldıktan sonra her bölmenden spektrumu ayrı ayrı bulunur ve aynı frekanslardaki değerler toplanıp aritmetik ortalaması alınarak düzgünleştirilmiş spektrum elde edilir. Bu işlem,

$$\bar{S}(w) = \frac{1}{R} \sum_{r=1}^R S_r(w) \quad (14)$$

bağıntısı ile tanımlanır (Jenkins ve Watts, 1968). Burada  $S_r(w)$ , her bölmeye ait güç spektrumu ve  $R$ , bölmeye sayısıdır. Bu yolla elde edilmiş bir spektruma ilişkin sonuçlar Şekil 1 (Cianciara ve Marcak 1976) ve Çizelge 1 de verilmektedir (Jenkins ve



Şekil 1. Spektrum ve düzgünleştirilmiş spektrum kestirimini (Cianciara ve Marcak 1976'dan)

Fig. 1. Estimation of spectrum and smoothed spectrum (after Cianciara and Marcak 1976)

**Çizelge 1. Spektrum ve düzgünleştirilmiş spektrum kestirimine ait istatistik parametreler (Jenkins ve Watts 1968'den)**

**Table 1. Statistical parameters of the spectrum and smoothed spectrum estimates (after Jenkins and Watts 1968)**

	Ortalama	Değişinti	Ortalama Karesel Hata
S (w)	0.95	0.826	0.828
S (w)	0.94	0.139	0.143

Watts 1968). Tablonun birinci satırı 400 adet veri kullanılarak elde edilen spektruma ait istatistik özellikleri, ikinci satır ise aynı verinin 50 şer adetlik 8 eşit bölmeye ayrılarak elde edilmiş spektrumuna ait istatistik özellikleri göstermektedir. Sonuçlar incelendiğinde, yuvarlatılmış spektrum kestiriminin, değişinti ve ortalama karesel hatasının diğerine göre çok küçük olduğu görülmektedir. Bu sonuç, bizi yuvarlatılmış spektrum kestiriminin diğerine göre daha sağlam olduğu düşüncesine ulaştırmaktadır. (14) bağıntısı ile tanımlanan bu yaklaşım (13) bağıntısına uygulanırsa,

$$\bar{S}(w) = \frac{1}{R} \sum_{r=1}^R \sum_{p=1}^P f_T^P(w, \alpha_1^{pr}, \alpha_2^{pr}, \dots, \alpha_n^{pr}) \exp(-2wh) \quad (15)$$

elde edilir. (15) bağıntısında,

$$f_T^P(w, \alpha_1^{pr}, \alpha_2^{pr}, \dots, \alpha_n^{pr}) = c^{pr} = \text{sabit} \quad (16)$$

$$C = \frac{1}{R} \sum_{r=1}^R \sum_{p=1}^P c^{pr} \quad (17)$$

dönüşümleri yapılrsa, (16) bağıntısı

$$S = C \cdot \exp(-2wh) \quad (18)$$

şeklini alır.

(18) bağıntısının her iki tarafının logaritması alınarak gerekli düzenlemeler yapılrsa, anomaliye neden olan yapılara ilişkin ortalama derinlik

$$\bar{h}_i = \frac{\ln S(W_{i+1}) - \ln S(W_i)}{2(W_{i+1} - W_i)} \quad i = 1, 2, \dots \quad (19)$$

bağıntısından yararlanılarak bulunur.

### Kayan Pencere Uygulaması

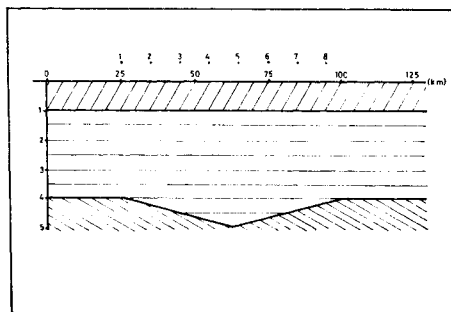
(15) bağıntısından elde edilen düzgünlenmiş spektrum kestiriminden yararlanılarak, (19) bağıntısından bulunan ortalama derinlik, spektrumun hesaplandığı verinin boyuya doğrudan ilişkilidir. Bu bulgudan ve (14) bağıntısı ile tanımlanan spektrum kestiriminin düzgünleştirilmesi yaklaşımından yararlanan Cianciara ve Marcak (1976) bir profil boyunca hesaplanmış gravite verisinin spektrumunu, kayan pencere yardımıyla elde etmişlerdir. Uygulamada, seçilen pencereyi her adımada, pencere boyunun yarısı kadar kaydırılmışlar ve bulunan derinlikleri, pencerenin ortasına atmışlardır. Bu şekilde

bulunan derinliklerden yararlanarak da anomaliye neden olan yapının topoğrafyasını belirlemiştir. Uygulamada, sağlıklı bir kestirim için kullanılacak bilgi penceresinin boyunun, araştırma derinliğinin yaklaşık 10 katı olması gereği önerilmektedir (Cianciara ve Marcak 1976).

Bu çalışmada ise, birinci adımda belli bir topoğrafya sahip model yapının oluşturacağı gravite anomalisi Talwani ve diğ. (1959) dan yararlanarak hesaplanmıştır. Elde edilen kuramsal verilere kayan dikdörtgen penceresi uygulanmıştır. Böylece periodogram yöntemiyle güç spektrumları bulunmuştur. Elde edilen güç spektrumundan yararlanarak da saptanan derinlikler, her pencerenin ortasına atanmış ve model yapıya ilişkin topoğrafya belirlenmeye çalışılmıştır. İkinci adımda ise yöntem Batı Karadeniz Bölgesi gravite verilerine uygulanmıştır. Elde edilen sonuçlar, aynı yörede Pinar (1983)'ün Hilbert dönüşümlerinden elde ettiği bulgularla karşılaştırılmıştır.

### UYGULAMA

Uygulamanın ilk adımda Şekil 2'de görülen model yapının profil boyunca oluşturacağı gravite anomalisi Talwani



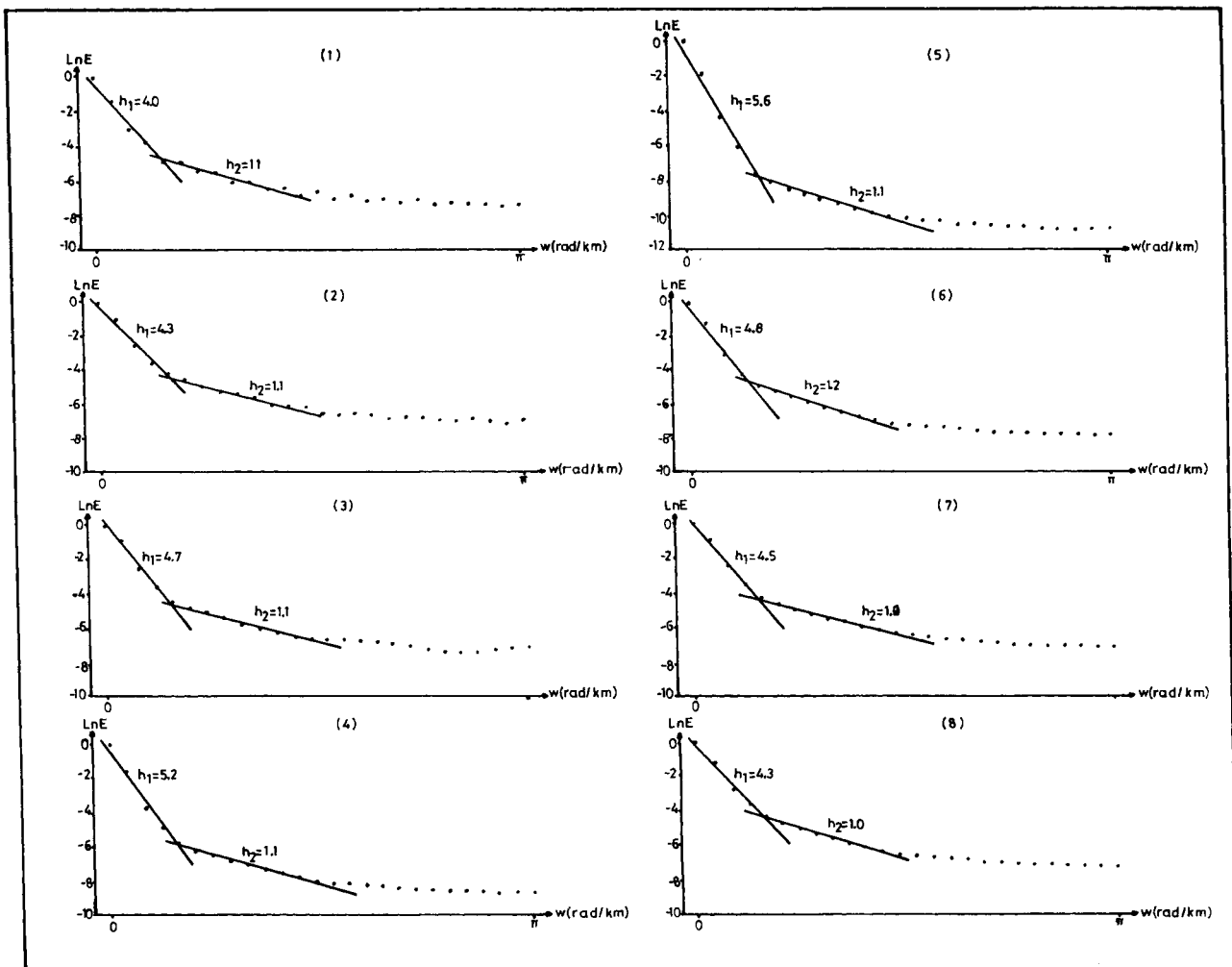
**Şekil 2. Kuramsal model yapı  
Fig. 2. Theoretical model structure**

ve diğ. (1959)'den yararlanarak hesaplanmıştır. Hesaplanan bu verilerde, kullanılacak kayan pencere boyu 50 km ve kayma miktarı 10 km olarak seçilmiştir. Daha sonra her birim kayma için, seçilen bilgi penceresi içinde kalan verilerden yararlanarak elde edilen güç spektrumlarından ortalama derinlikler saptanmıştır (Şekil 3). Elde edilen sonuçlar incelendiğinde, spektrum kestiriminden elde edilen derinliklerin model yapıya ilişkin derinliklerle uyumlu olduğu ve bu derinliklerin de model yapının topoğrafyasını iyi bir şekilde yansıttığı gözlenmiştir.

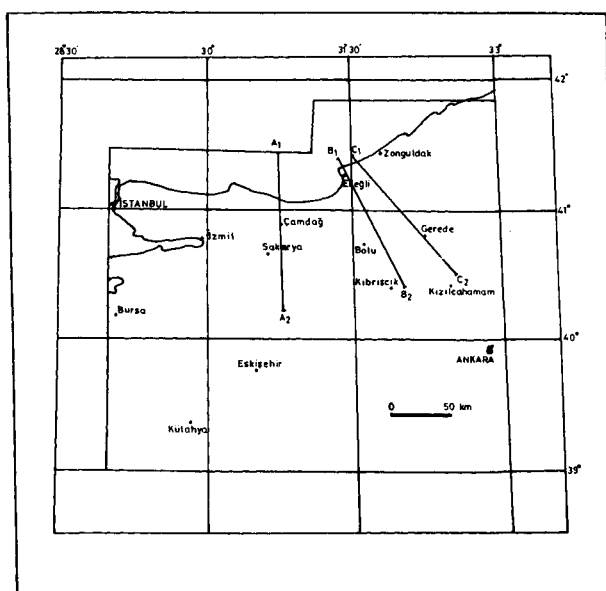
Önceki bölümde, seçilecek bilgi penceresinin boyunun, öngörülen araştırma derinliğinin yaklaşık 10 katı olması önerilmiştir. Burada gerçekleştirilen model uygulamasında ise, modeldeki en derin kesimin 5 km olmasına karşın saptanın en büyük derinlik 5,6 km'dir. Benzer sonuçlara Cianciara ve Marcak (1976)'nın uygulamasında ve Batı Karadeniz Bölgesi gravite verilerinde rastlanmıştır. Bu durum ise önerilen bilgi penceresi boyunun kesin bir kriter olmayıp, deneme-sinama sonucu saptanın bir yaklaşım olmasından kaynaklanmaktadır.

İkinci adımda ise yöntem Batı Karadeniz Bölgesi Bouguer gravite haritasından alınan üç profil üzerinde denenmiştir (Şekil 4). Uygulamada pencere boyu 127,5 km ve kayma miktarı da 25 km seçilmiştir. Elde edilen sonuçlar Şekil 5, 6 ve 7'de verilmektedir.

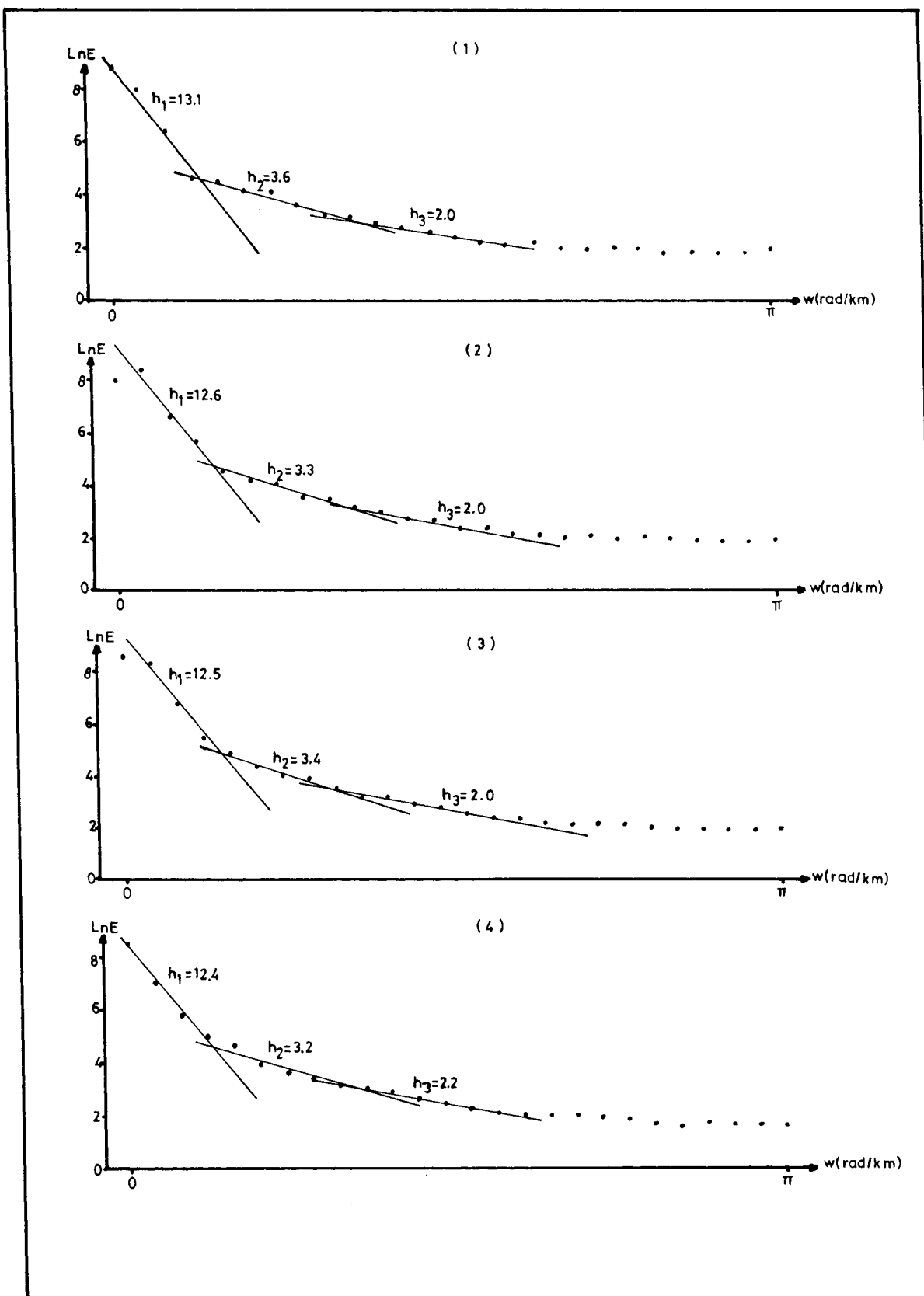
Şekiller incelendiğinde bu profiller boyunca anomaliye neden olan üç değişik derinlik seviyesinin varlığı gözlenmektedir. Her profilden elde edilen derinlik seviyeleri de birbirleri ile uyum içindedir. Saptanın bu derinlikler incelendiğinde, en derin seviyeler için ortalama derinlikler Çizelge 2'de verilmektedir. Aynı profiller boyunca, Pinar (1983) tarafından gerçek-

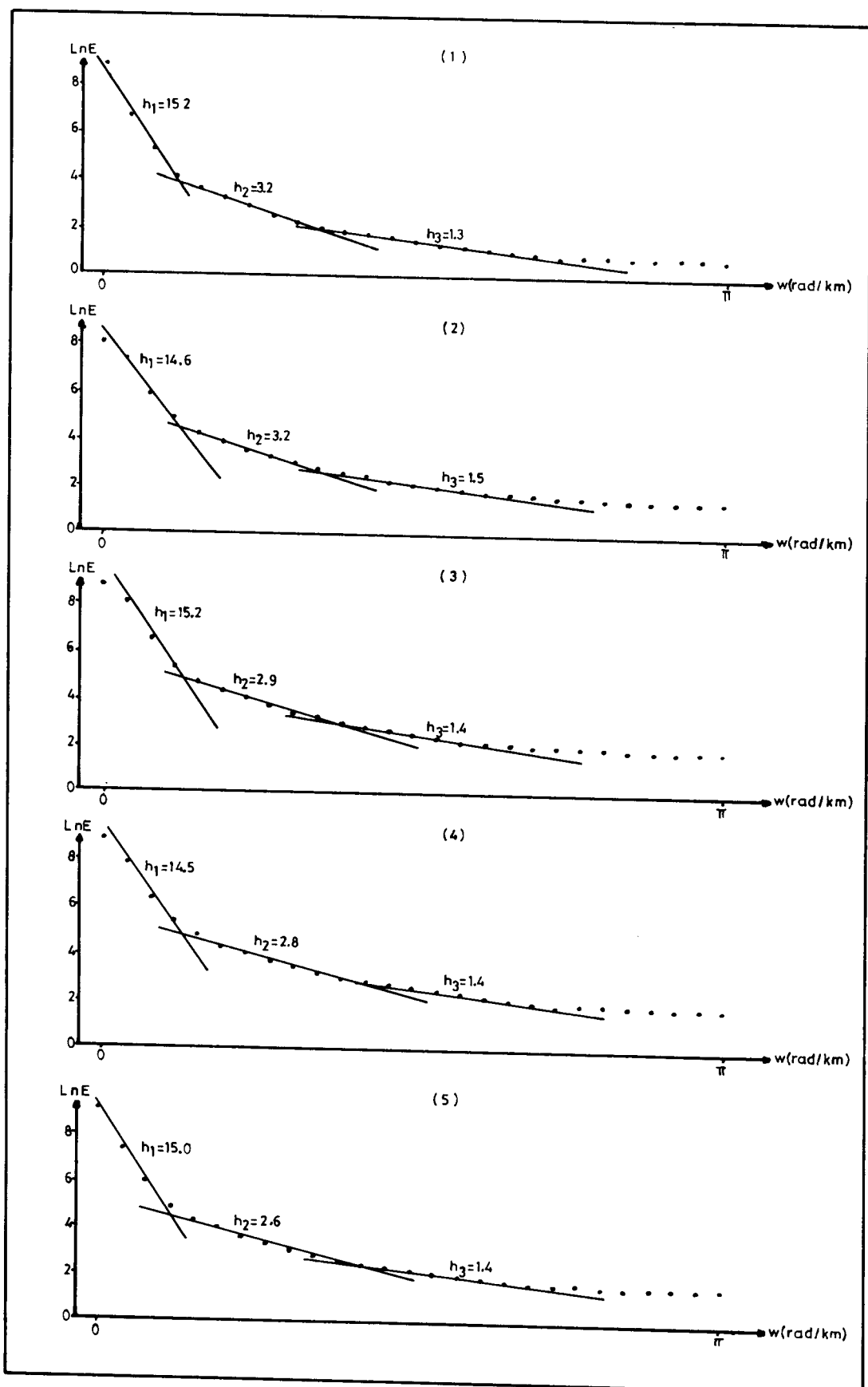


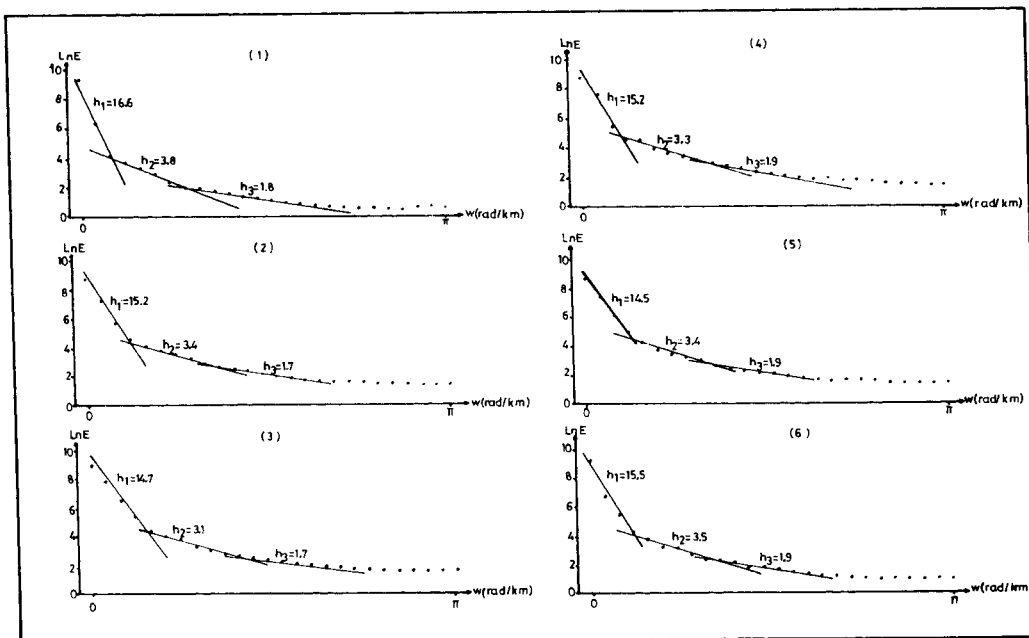
Şekil 3. Kayan pencereli güç spektrumunun model yapıya uygulanması  
Fig. 3. Application of moving windowed power spectra of the model structure



Şekil 4. Yerbulduru haritası  
Fig. 4. Location map

Şekil 5. Kayan pencereli güç spektrumunun  $A_1-A_2$  kesidine uygulanmasıFig. 5. Application of moving windowed power spectrum to the profile  $A_1-A_2$

Şekil 6. Kayan pencereli güç spektrumunun  $B_1-B_2$  kesidine uygulanmasıFig. 6. Application of moving windowed power spectrum to the profile  $B_1-B_2$

Şekil 7. Kayan pencereli güç spektrumunun  $C_1-C_2$  kesidine uygulanmasıFig. 7. Application of moving windowed power spectrum to the profile  $C_1-C_2$ 

**Çizelge 2. Ortalama derinlik değerleri**  
**Table 2. The mean depth values**

Kesitler	Derinlik (km)
$A_1-A_2$	12.6
$B_1-B_2$	14.9
$C_1-C_2$	15.3

**Çizelge 3. Ortalama derinlik değerleri  
(Pınar 1983'den)**

**Table 3. The mean depth values  
(after Pınar 1983)**

Kesitler	Derinlik (km)
$A_1-A_2$	12.15
$B_1-B_2$	15.6
$C_1-C_2$	15.34

leştirilen, Hilbert dönüşümleri kullanılarak yatay süreksızlıkların saptanmasına yönelik çalışma sonucu saptanan derinlikler Çizelge 3'de görülmektedir. Her iki tablo incelendiğinde kullanılan iki ayrı yöntemle aynı profiller üzerinde yapılan uygulamadan elde edilen derinlikler oldukça iyi bir uyum sunmakta ve Pınar (1983) tarafından öngörülen yoğun kürenin batuya doğru yüzeye yaklaşması savını da desteklemektedir.

## SONUÇLAR

Yapılan değişik uygulamalar sonucu, kayan pencereli güç spektrumunun gerçek model veriler üzerinde ve gerekse de arazi verilerinde başarılı sonuçlar verdiği gözlenmiştir.

Yöntem, özellikle yeraltı topografyasının belirlenmesinin önem kazandığı çalışmalarında rahatlıkla uygulanabilir.

Bati Karadeniz Bölgesi gravite verilerine, Hilbert dönüşümü uygulaması sonucu, anomalisi neden olan yapının batuya doğru yüzeye yaklaşığı saptanmıştır. Aynı sav, bu çalışma sonucu elde edilen bulgularla da desteklenmiştir.

Modelleme ve ters çözüm gibi yineleme yoluyla yapı parametrelerinin saptanmasına yönelik yöntemler jeofizikte yaygın olarak kullanılır. Kayan pencereli güç spektrumu uygulaması, bu tür çalışmalarında ilk kestirim değerlerinin atanmasında büyük katkıları sağlayabilecek niteliktedir.

Uygulamada, bilgi penceresi boyunun seçimi ile ilgili öneri (10h), kesin bir kriter olmayıp, deneme sınıma sonucu saptanmış bir yaklaşımdır. Bu nedenle uygulamada, öngörlülden daha büyük derinliklerinde saptanabileceği gözardı edilmemelidir.

## KAYNAKLAR

- Bhattacharyya, B.K. 1965, Two dimensional harmonic analysis as a tool magnetic interpretation, Geophysics 30, 829-857.
- Bhattacharyya, B.K. 1966, Continuous spectrum of the total magnetic anomaly due to a rectangular prismatic body, Geophysics 31, 97-121.
- Blackman, R.B. and Tukey, J.W. 1958, The Measurement of Power Spectra, Dover Publications, New York.
- Canitez, N., Yaramancı, U. ve Özdemir, H. 1987, Spektral Analiz ve Jeofizik Uygulamaları, TMMOB Jeofizik Mühendisleri Odası Eğitim Yayınları No: 1, Ankara.
- Cianciara, B. and Marcak, H. 1976, Interpretation of gravity anomalies by means of local power spectra, Geophysical Prospecting 24, 273-286.

- Dean, W.C. 1958, Frequency analysis for gravity and magnetic interpretation, *Geophysics* 23, 97-127.
- Green, A.G. 1972, Magnetic profile analysis, *Geophys. J.R. Astr. Soc.* 30, 393-403.
- Hahn, A., King, E.G. and Mishra, D.C. 1976, Depth estimation of magnetic sources by means of Fourier amplitude spectra, *Geophysical Prospecting* 24, 287-308.
- Jenkins, G.M. and Watts, D.G. 1968, *Spectral Analysis and Its Applications*, Holden-Day, San Francisco.
- Jones, R.H. 1965, A reappraisal of the periodogram in Spectral Analysis, *Technometrics* 7, 531-542.
- Pinar, Ö.R. 1983, Doğrusal Dizge Kuramının Potansiyel Alanlara Uygulanması, Doktora tezi, DEÜ Fen Bil. Enst., İzmir.
- Spector, A. and Bhattacharyya B.K., 1966, Energy spectrum and auto-correlation functions of anomalies due to simple magnetic models, *Geophysical Prospecting* 14, 242-272.
- Spector, A. and Grant, F.S. 1970, Statistical models for interpreting aeromagnetic data, *Geophysics* 35, 293-302.
- Talwani, M., Worzel, L. and Landisman, M. 1959, Rapid gravity computation for two dimensional bodies with applications to the Mendocino Submarine fracture zone, *Jour. of Geophys. Res.* 64, 49-59.